

## 第2章 2重振り子の振動（自由度2の連成振動）

この章では、自由度が2の場合の振動について調べる。自由度が増えると、系は一見複雑な動きを示すことがある。しかし、これは2つの基準モード（振動モード）という単振動の重ね合わせとして、理解できることを示す。ここでは、2重振り子を例にとって、その連成振動を解析する。

## § 2.1 2重振り子の連成振動方程式

まず、Fig. 2.1 に示すような、2重振り子の連成振動を解析する。ここでは、Fig. 1.1 と同様の单振り子が、2つ連なった場合を取り扱うこととし、簡単のために、上下の振り子の糸の長さ  $\ell$ 、锤の重量  $w$  は、同一とする。ここに、それぞれの振れ角を  $\theta, \varphi$ 、糸の張力を  $T_\theta, T_\varphi$  して、運動方程式を立てることにする。まず、接線方向（周方向  $\theta, \varphi$ ）の運動方程式は、上下それぞれに対して、

となる。 それぞれの法線方向（張力  $T_\theta, T_\phi$  の方向）については、糸の伸び縮みと、振り子の円運動に伴う遠心力を無視すれば、

のような、平衡方程式が成立する。この式から求まる張力  $T_\phi$  を、(2.1)式の第1式に代入することにより、

$$\left. \begin{aligned} \frac{d^2\theta}{dt^2} &= -\frac{g}{\ell} \sin \theta + \frac{g}{\ell} \cos \varphi \cdot \sin(\varphi - \theta) \\ \frac{d^2(\theta + \varphi)}{dt^2} &= -\frac{g}{\ell} \sin \varphi \end{aligned} \right\} \cdots \quad (2.3)$$

のように、書き換えることができる。ここでも、振り子の振れ角  $\theta, \varphi$  は、共にある程度小さい場合 ( $|\theta| \ll 1, |\varphi| \ll 1, |\varphi - \theta| \ll 1$ ) を想定し、式中に現われる  $\sin, \cos$  の項に対して、(1.5)式と同様、

$$\left. \begin{array}{l} \sin \theta \approx \theta, \sin \varphi \approx \varphi, \sin(\varphi - \theta) \approx \varphi - \theta \\ \cos \theta \approx 1, \cos \varphi \approx 1, \cos(\varphi - \theta) \approx 1 \end{array} \right\} \cdots (2.4)$$

のような近似を行なえば、(2.3),(2.2)両式は、それぞれ線型化されて、

$$\left. \begin{array}{l} T_\theta \approx T_\phi + w \approx 2w \\ T_\phi \approx w \end{array} \right\} \dots \dots \dots \quad (2.6)$$

を得る。さて、ここに、(2.5)式の第2式の右辺の  $\frac{d^2\theta}{dt^2}$  に対して、第1式を用いて整理し、(1.7)式と同様、 $\frac{g}{\ell} = k^2$  と置けば、この2重振り子の連成振動方程式は、

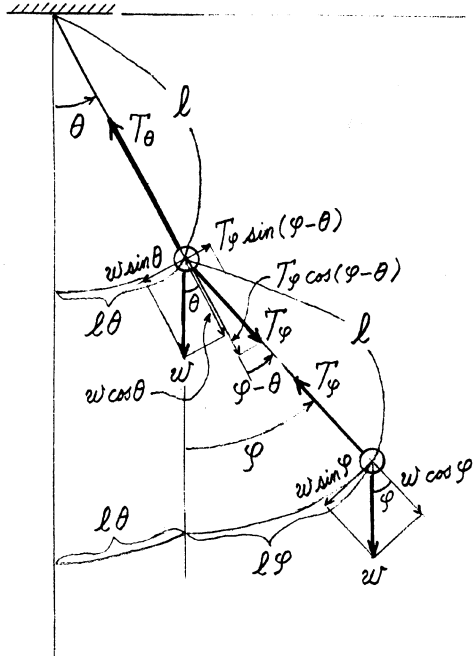


Fig. 2.1

のように、書くことができる。

## §2.2 2重振り子の振動方程式の一般解

ここでは、(2.7)式で与えられる2階の連立微分方程式を解くことを考える。

(1.14)式の単振動の解の形を参考にし、 $\theta$ ,  $\varphi$ が同じ振動数  $\omega$  と位相で振動するとして、

のような解を仮定する。ここに、振幅の  $R_\theta$ ,  $R_\varphi$ , 共通の位相遅れ角の  $\delta$  は、任意定数である。

これを、(2.7)式に代入すれば、

$$\left. \begin{aligned} & \left( -\omega^2 R_\theta + 2k^2 R_\theta - k^2 R_\varphi \right) \cos(\omega t - \delta) = 0 \\ & \left( -\omega^2 R_\varphi + 2k^2 R_\varphi - 2k^2 R_\theta \right) \cos(\omega t - \delta) = 0 \end{aligned} \right\} \dots \quad (2.9)$$

となり、これを恒等的に満たすためには、それぞれの振動因子  $\cos(\omega t - \delta)$  の係数に相当する括弧内がゼロとなる必要があるから、

のような、連立の代数方程式を得る。第1式から、 $R_\varphi$  と  $R_\theta$  の間に、

のような関係を得、これを第2式に代入して、 $R_\theta$ に関して整理すれば、

を得る。この式は、 $R_\theta = 0$  とすれば満たすが、これは振動をしないという意味のない解 (*trivial solution*) ので、実際は、中括弧 = ゼロ の条件から、

のような関係を得る。これから、この場合の振動数  $\omega$  は、

のように、4個求まるが、取り敢えず、等号の後の複号±の+側の2個を取って、

$$\left. \begin{aligned} \omega &= \sqrt{2 - \sqrt{2}} k \approx 0.765 k \equiv \omega_1 \\ \omega &= \sqrt{2 + \sqrt{2}} k \approx 1.848 k \equiv \omega_2 \end{aligned} \right\} \dots \dots \dots \dots \dots \dots \dots \quad (2.15)$$

とし、それを  $\omega_1, \omega_2$  (但し、 $\omega_1 < \omega_2$ ) と表記する。(残りの一側の2個を捨てた理由については、後述する。) このことから、(2.7)式の連成振動方程式を満たす振動数  $\nu$  は、2個あることが分かる。このとき、(2.13)式の関係を(2.11)式に代入することにより、上下の振り子の振れ角  $\theta$  と  $\phi$  の振幅には、

の関係があることが分かった。ここに、(2.13)式の複号干の、-側が低周波数の  $\omega_1$ （添字1）に、+側が高周波数の  $\omega_2$ （添字2）に対応しているから、それぞれ振動モード(1,2)に対して、

となる。したがって、振動モード 1 (低周波数  $\omega_1$ ) に対して、 $\theta_1, \varphi_1$  は共に位相遅れ角を  $\delta_1$  と

しそれば、

$$\left. \begin{aligned} \theta_1 &= R_{\theta_1} \cos(\omega_1 t - \delta_1) \\ \varphi_1 &= R_{\varphi_1} \cos(\omega_1 t - \delta_1) = \sqrt{2} R_{\theta_1} \cos(\omega_1 t - \delta_1) \end{aligned} \right\} \dots \quad (2.18)$$

となり、 $\theta_1$  と  $\varphi_1$  は同位相で、 $\varphi_1$  の振幅は  $\theta_1$  の  $\sqrt{2}$  倍であることが分かる。一方、振動モード 2 (高周波数  $\omega_2$ ) に対して、 $\theta_2, \varphi_2$  は、位相遅れ角を  $\delta_2$  として、

$$\left. \begin{aligned} \theta_2 &= R_{\theta 2} \cos(\omega_2 t - \delta_2) \\ \varphi_2 &= R_{\varphi 2} \cos(\omega_2 t - \delta_2) = -\sqrt{2} R_{\theta 2} \cos(\omega_1 t - \delta_2) \end{aligned} \right\} \quad \dots \dots \dots \quad (2.19)$$

となり、同じく  $\varphi_2$  の振幅は  $\theta_2$  の  $\sqrt{2}$  倍であるが、両者の振れが逆位相で生じることが分かる。

以上より、 $\theta_1, \theta_2$  と、 $\varphi_1, \varphi_2$  が、(2.7)式の微分方程式の特解であることから、これを満たす  $\theta(t), \varphi(t)$  それぞれの一般解は、両者の線型結合により、

$$\left. \begin{aligned} \theta(t) &= \theta_1 + \theta_2 = R_{\theta 1} \cos(\omega_1 t - \delta_1) + R_{\theta 2} \cos(\omega_2 t - \delta_2) \\ \varphi(t) &= \varphi_1 + \varphi_2 = \sqrt{2} R_{\theta 1} \cos(\omega_1 t - \delta_1) - \sqrt{2} R_{\theta 2} \cos(\omega_1 t - \delta_2) \end{aligned} \right\} \dots \quad (2.20)$$

となる。ここに、 $\theta$  の振幅  $R_{\theta_1}, R_{\theta_2}$  と、共通の位相遅れ角  $\delta_1, \delta_2$  の 4 個は、初期条件から定まる未定定数である。

最後に、議論を先送りしてきた、振動数  $\omega$  として、(2.14)式の複号  $\pm$  の  $-$  側の 2 個を捨てたことについて、検討する。複号の  $-$  側を取ることは、(2.15)式で定義した  $\omega_1, \omega_2$  の代わりに、 $\omega$  として、

の2個を採用することに相当する。したがって、(2.20)式において、

のような置き換えをして、整理すれば、 $\theta(t)$ ,  $\varphi(t)$  は、それぞれ

となり、式中の  $\delta'_1, \delta'_2$  は未定定数だから、改めて  $\delta_1, \delta_2$  と置き換えることにより、(2.20)式と全く同様の解となることが分かる。これが、(2.14)式の複号±の、どちらかを採用すれば良いことになる理由である。つまり、(2.15)式と(2.21)式は、独立の解ではなかったという訳である。

### § 2.3 与えられた初期条件下での2重振り子の振動

本節では、前節で求めた2重振り子の連成振動の一般解に、初期条件を課すことにより、具体的な振動の様子を決定する。得られた幾つかのパターンの振動の様子を検討することにより、このような自由度が2の場合の、振動モードの概念について、理解を深める。

ここでは、以下 case i), ii), iii) の 3 つのパターンの初期条件を課すことにするが、何れの場合も、初期状態  $t = 0$  では、上下の振り子とも、止まっている  $\left( \frac{d\theta}{dt} = 0, \frac{d\varphi}{dt} = 0 \right)$  場合について考える。

解析の便利のため、一般解として、(1.12)式と同様な形を仮定すれば、(2.20)式は、(2.17)式の関係に注意すれば、

$$\left. \begin{aligned} \theta(t) &= (A_{\theta 1} \cos \omega_1 t + B_{\theta 1} \sin \omega_1 t) + (A_{\theta 2} \cos \omega_2 t + B_{\theta 2} \sin \omega_2 t) \\ \varphi(t) &= \sqrt{2} (A_{\theta 1} \cos \omega_1 t + B_{\theta 1} \sin \omega_1 t) - \sqrt{2} (A_{\theta 2} \cos \omega_2 t + B_{\theta 2} \sin \omega_2 t) \end{aligned} \right\} \dots\dots(2.24)$$

のように、書くことができる。ここに、上記の初期条件から、

$$\left. \begin{aligned} \frac{d\theta}{dt} \\ \frac{d\varphi}{dt} \end{aligned} \right|_{t=0} = \begin{aligned} \omega_1 B_{\theta 1} + \omega_2 B_{\theta 2} = 0 \\ \sqrt{2} (\omega_1 B_{\theta 1} - \omega_2 B_{\theta 2}) = 0 \end{aligned} \quad \left. \right\} \dots \dots \dots \quad (2.25)$$

のような関係を得る。この連立方程式は、簡単に解けて、

$$B_{\theta_1} = B_{\theta_2} = 0$$

となるから、 $\sin$  の項は消失し、この場合の  $\theta(t)$ ,  $\varphi(t)$  は、

$$\left. \begin{array}{l} \theta(t) = A_{\theta_1} \cos \omega_1 t + A_{\theta_2} \cos \omega_2 t \\ \varphi(t) = \sqrt{2} A_{\theta_1} \cos \omega_1 t - \sqrt{2} A_{\theta_2} \cos \omega_2 t \end{array} \right\} \dots \dots \dots \dots \dots \dots \dots \quad (2.26)$$

の形で振動することが分かる。

以下、 $t = 0$  での振れ角  $\theta(0), \varphi(0)$  を設定して、未定の振幅  $A_{\theta_1}, A_{\theta_2}$  を決定することによって、振動の様子を検討してみよう。

case i )

第1例として、Fig. 2.2 に示すような

の条件を、(2.26)式に課してみると、 $A_{\theta 1}, A_{\theta 2}$  に関する

$$\left. \begin{aligned} \theta(0) &= A_{\theta_1} + A_{\theta_2} = \Theta_0 \\ \varphi(0) &= \sqrt{2} A_{\theta_1} - \sqrt{2} A_{\theta_2} = \sqrt{2} \Theta_0 \\ \rightarrow \frac{\varphi(0)}{\sqrt{2}} &= A_{\theta_1} - A_{\theta_2} = \Theta_0 \end{aligned} \right\} \dots\dots\dots (2.28)$$

なる代数方程式が得られ、直ちに、

のように求まる。結果、この場合の振れ角  $\theta(t)$ ,  $\varphi(t)$  は、

$$\left. \begin{aligned} \theta(t) &= \theta_1 = \Theta_0 \cos \omega_1 t \\ \varphi(t) &= \varphi_1 = \sqrt{2} \Theta_0 \cos \omega_1 t \end{aligned} \right\} \dots \dots \dots \quad (2.30)$$

となり、振動モード1の  $\omega_1$  で、しかも、 $\theta$  と  $\phi$  は全くの同位相で、振動することになる。

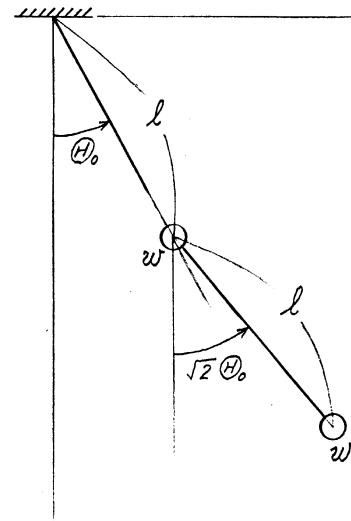


Fig. 2.2

*case ii)*

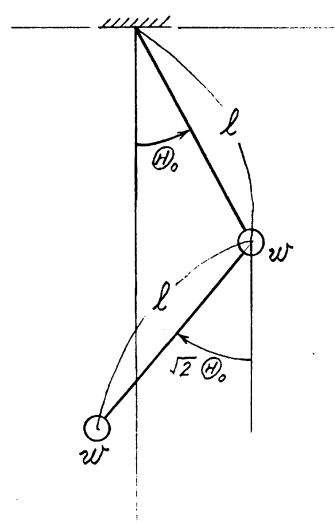
第2例は、 $\varphi(0)$  を case i) とは逆側に振った、Fig. 2.3 に示す  
ような

の条件を課すと、 $A_{\theta_1}, A_{\theta_2}$  に関する連立方程式は、

$$\left. \begin{aligned} \theta(0) &= A_{\theta_1} + A_{\theta_2} = \Theta_0 \\ \varphi(0) &= \sqrt{2} A_{\theta_1} - \sqrt{2} A_{\theta_2} = -\sqrt{2} \Theta_0 \\ \rightarrow \frac{\varphi(0)}{\sqrt{2}} &= A_{\theta_1} - A_{\theta_2} = -\Theta_0 \end{aligned} \right\} \dots \dots \dots (2.32)$$

となり、これを解くと、

となる。この場合の振れ角は、



*Fig. 2, 3*

$$\left. \begin{array}{l} \theta(t) = \theta_2 = \Theta_0 \cos \omega_2 t \\ \varphi(t) = \varphi_2 = -\sqrt{2} \Theta_0 \cos \omega_2 t \end{array} \right\} \dots \dots \dots \dots \dots \dots \dots \quad (2.34)$$

となって、振動モード2の $\omega_2$ で、しかも、 $\theta$ と $\varphi$ は全くの逆位相で、振動することが分かる。

case iii)

第3例は、 $\varphi(0)$  をゼロからスタートさせることとし、Fig. 2.4 に示すような

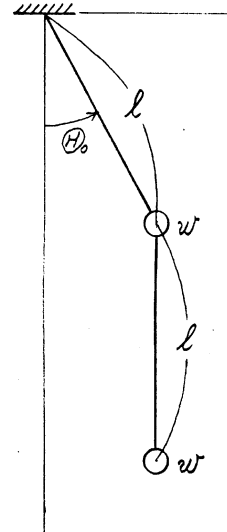
の条件を課す。このときの  $A_{\theta_1}, A_{\theta_2}$  は、

$$\left. \begin{array}{l} \theta(0) = A_{\theta_1} + A_{\theta_2} = \Theta_0 \\ \varphi(0) = \sqrt{2} A_{\theta_1} - \sqrt{2} A_{\theta_2} = 0 \\ \rightarrow \frac{\varphi(0)}{\sqrt{2}} = A_{\theta_1} - A_{\theta_2} = 0 \end{array} \right\} \dots \dots \dots \dots \dots \dots \dots \quad (2.36)$$

の関係から、直ちに、

のように求まる。結果、この場合の振れ角  $\theta(t)$ ,  $\varphi(t)$  は、

$$\left. \begin{aligned} \theta(t) &= \theta_1 + \theta_2 = \frac{\Theta_0}{2} (\cos \omega_1 t + \cos \omega_2 t) \\ \varphi(t) &= \varphi_1 + \varphi_2 = \frac{\sqrt{2}}{2} \Theta_0 (\cos \omega_1 t - \cos \omega_2 t) \end{aligned} \right\} \dots \quad (2.38)$$



*Fig. 2.4*

のように求まり、三角関数の和を積に直す公式と(2.15)式の関係を使って、

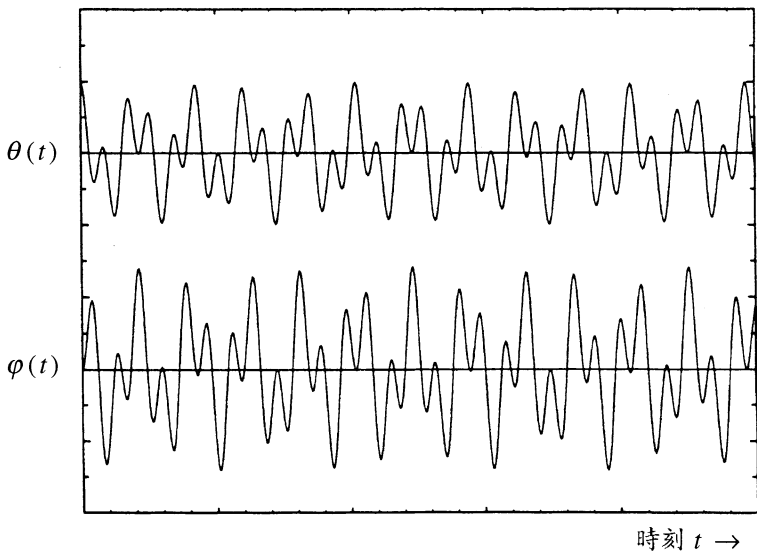
$$\left. \begin{aligned} \theta(t) &= \Theta_0 \cos\left(\frac{\omega_2 - \omega_1}{2}t\right) \cos\left(\frac{\omega_1 + \omega_2}{2}t\right) \\ &\approx \Theta_0 \cos(0.541\sqrt{\frac{g}{\ell}}t) \cos(1.307\sqrt{\frac{g}{\ell}}t) \\ \varphi(t) &= \sqrt{2} \Theta_0 \sin\left(\frac{\omega_2 - \omega_1}{2}t\right) \sin\left(\frac{\omega_1 + \omega_2}{2}t\right) \\ &\approx \sqrt{2} \Theta_0 \sin(0.541\sqrt{\frac{g}{\ell}}t) \sin(1.307\sqrt{\frac{g}{\ell}}t) \end{aligned} \right\} \dots \quad (2.39)$$

のように、書くこともできる。

この振動は、Fig. 2.5 に示す  
ように、多少複雑な動きをする  
ことになるが、ここでの解析が  
示すように、上式のような、振  
動モード 1 と 2 の単振動の合成か  
ら得られるのである。

*Fig. 2.6* に、 $\theta(t)$  を両モードに分解した時刻歴を示す。上が、低周波数成分の  $\theta_1$ 、下が高周波数成分の  $\theta_2$  で、共に単純な余弦波形となっていることが分かる。

上記の case i), ii) の例は,  
 $\omega_1, \omega_2$  2つの振動モードのうち,



*Fig. 2.5*

どちらか一方のみで振動する  
という特殊な場合であって、  
このような自由度が 2 の場合  
の振動は、実際には case iii)  
のように、2 つの振動モード  
(Fig. 2.6) が合成されて、  
一見複雑な様相 (Fig. 2.5)  
を呈するのである。

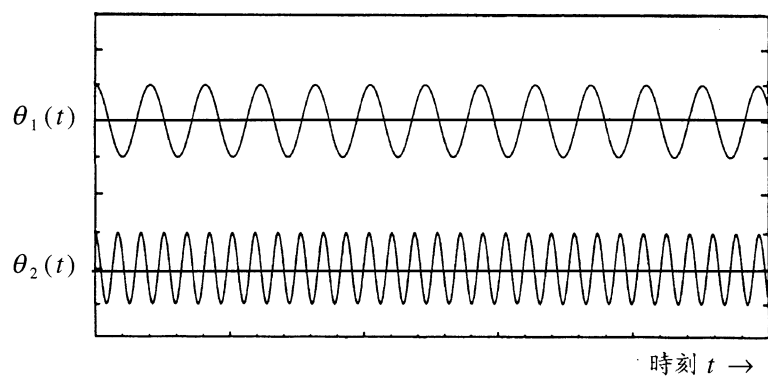


Fig. 2.6